

ЦИРРОЗ ПЕЧЕНИ

Хроническое заболевание,
характеризующееся нарастающей
печеночной недостаточностью из-за
рубцового сморщивания и структурной
перестройки печени.

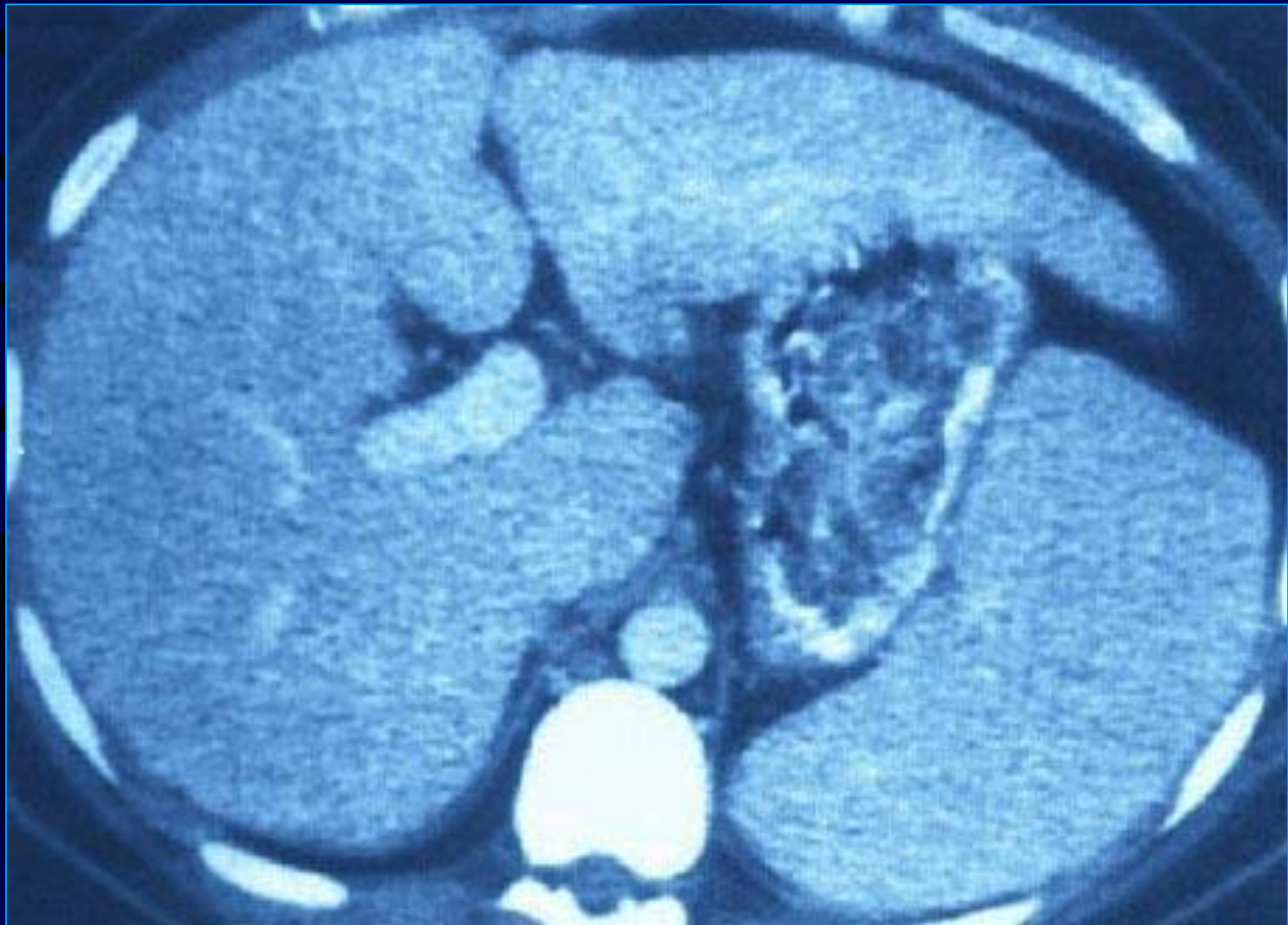
ПАТОЛОГИЧЕСКАЯ АНАТОМИЯ

- * Дистрофия и некроз гепатоцитов.
- * Извращенная регенерация.
- * Диффузный склероз.
- * Структурная перестройка и деформация органа.

Макроскопически:

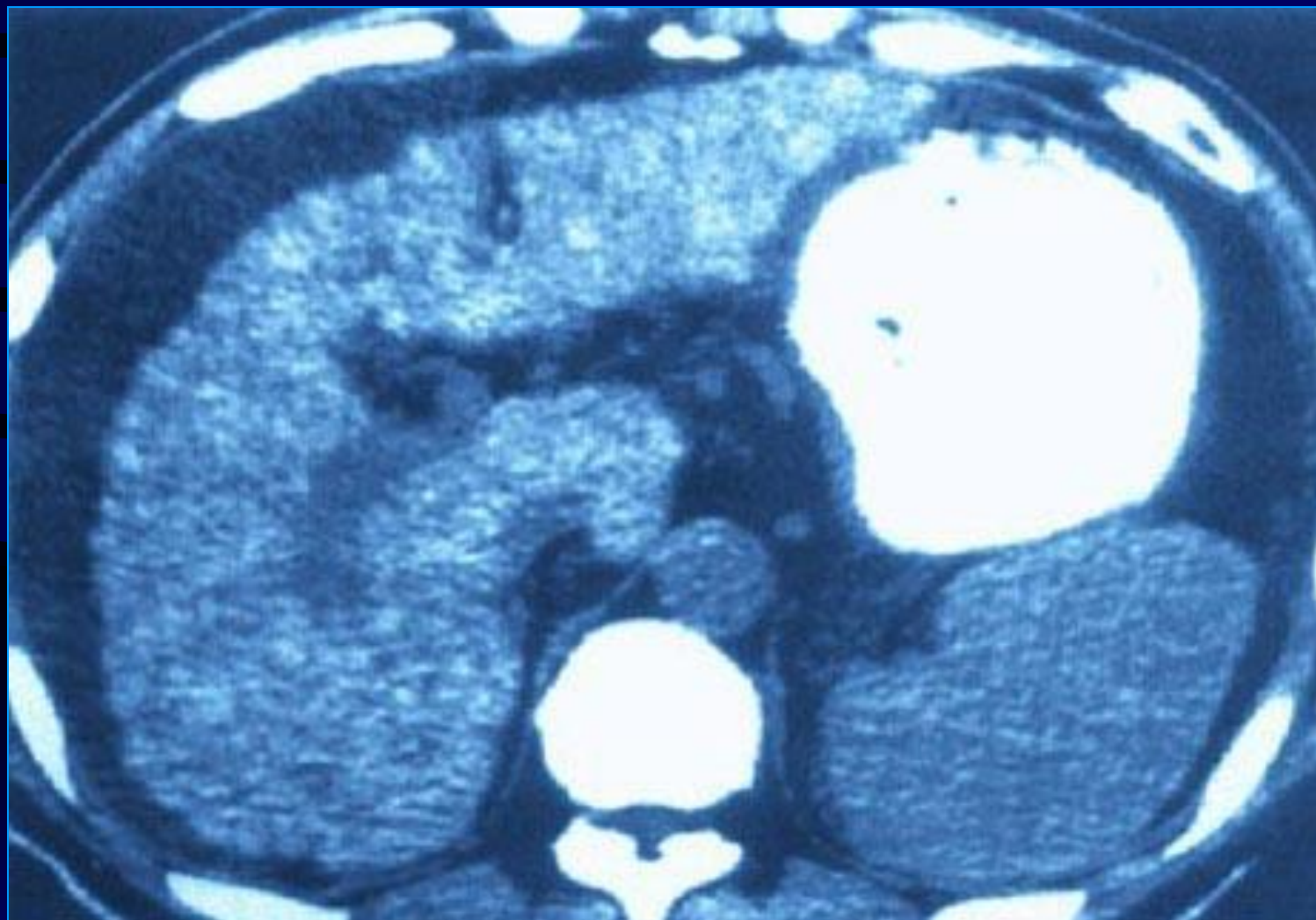
неполный септальный, мелкоузловой, крупноузловой, смешанный.

Гладкая поверхность, нормальные размеры.
Цирроз, индуцированный гепатитом В.



Мелкобугристая поверхность, множественные
мелкие узлы регенерации высокой плотности.

Цирроз, индуцированный гепатитом В.



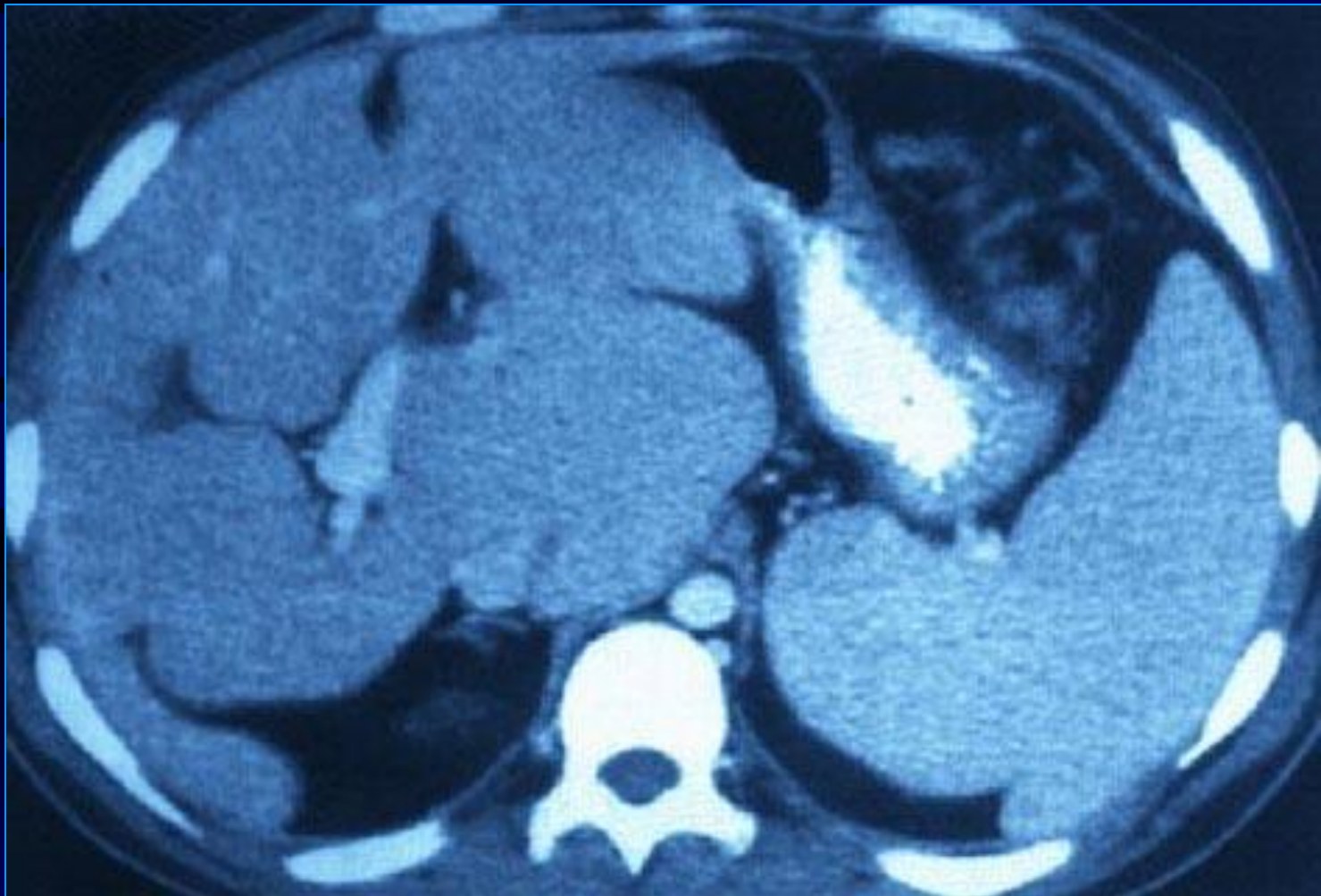
Нерезко выраженная бугристость поверхности,
гипертрофия 1 сегмента.

Цирроз, индуцированный склерозирующим
холангитом.



Большие узлы, гипертрофия 1 сегмента, атрофия 6 сегмента.

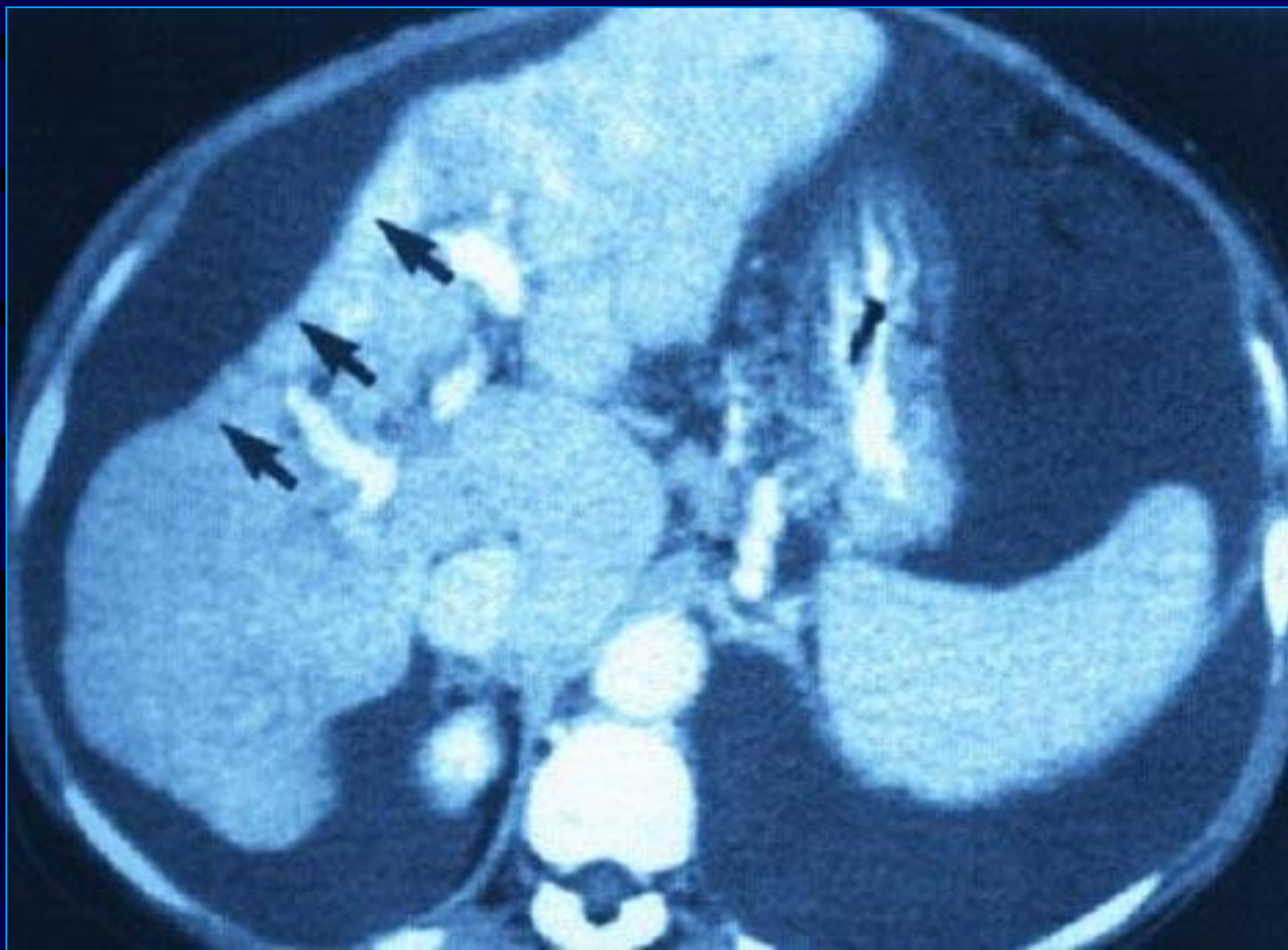
Цирроз, индуцированный склерозирующим холангитом.



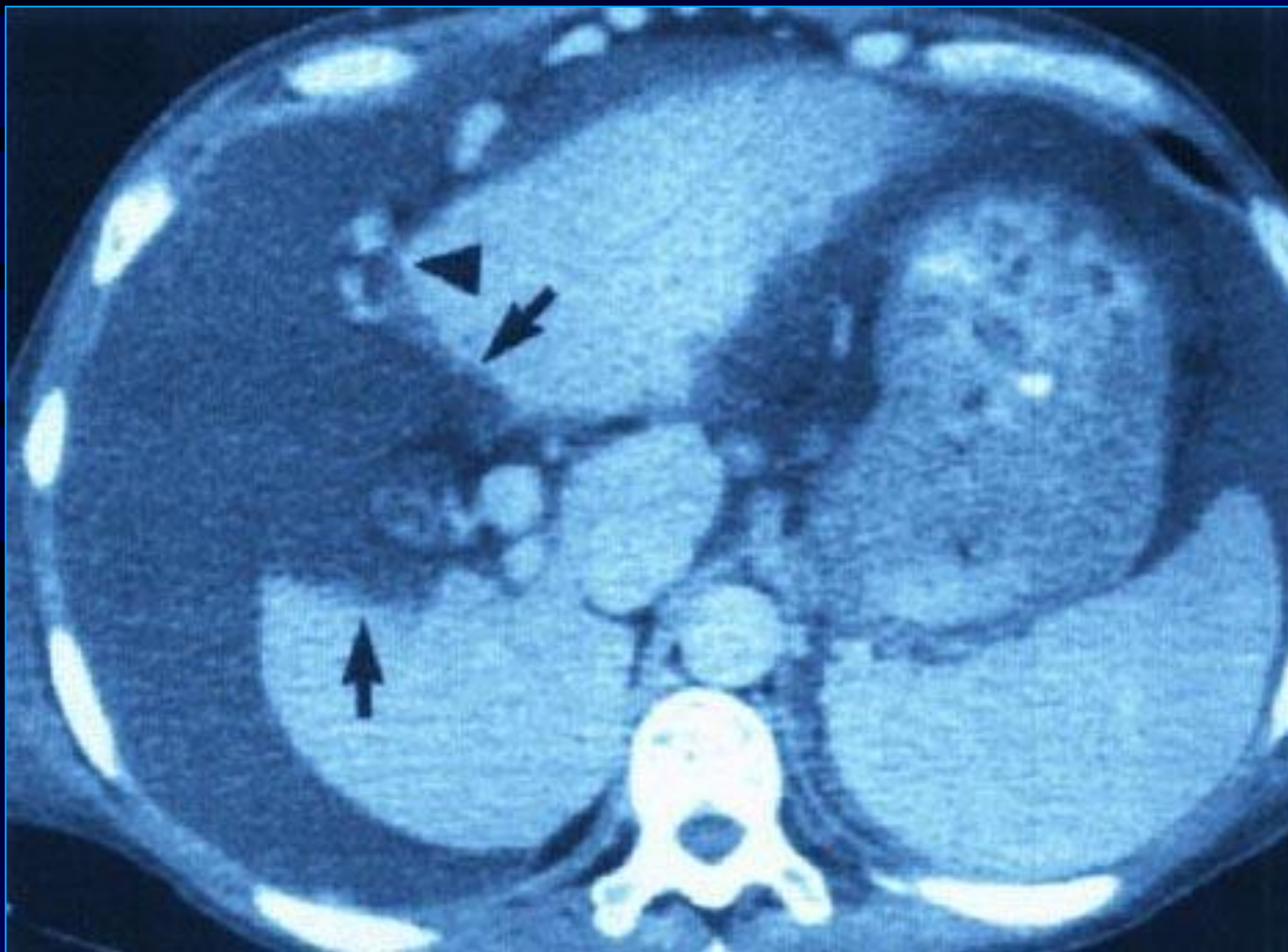
Диффузная атрофия, бугристая поверхность.
Алкогольный цирроз.



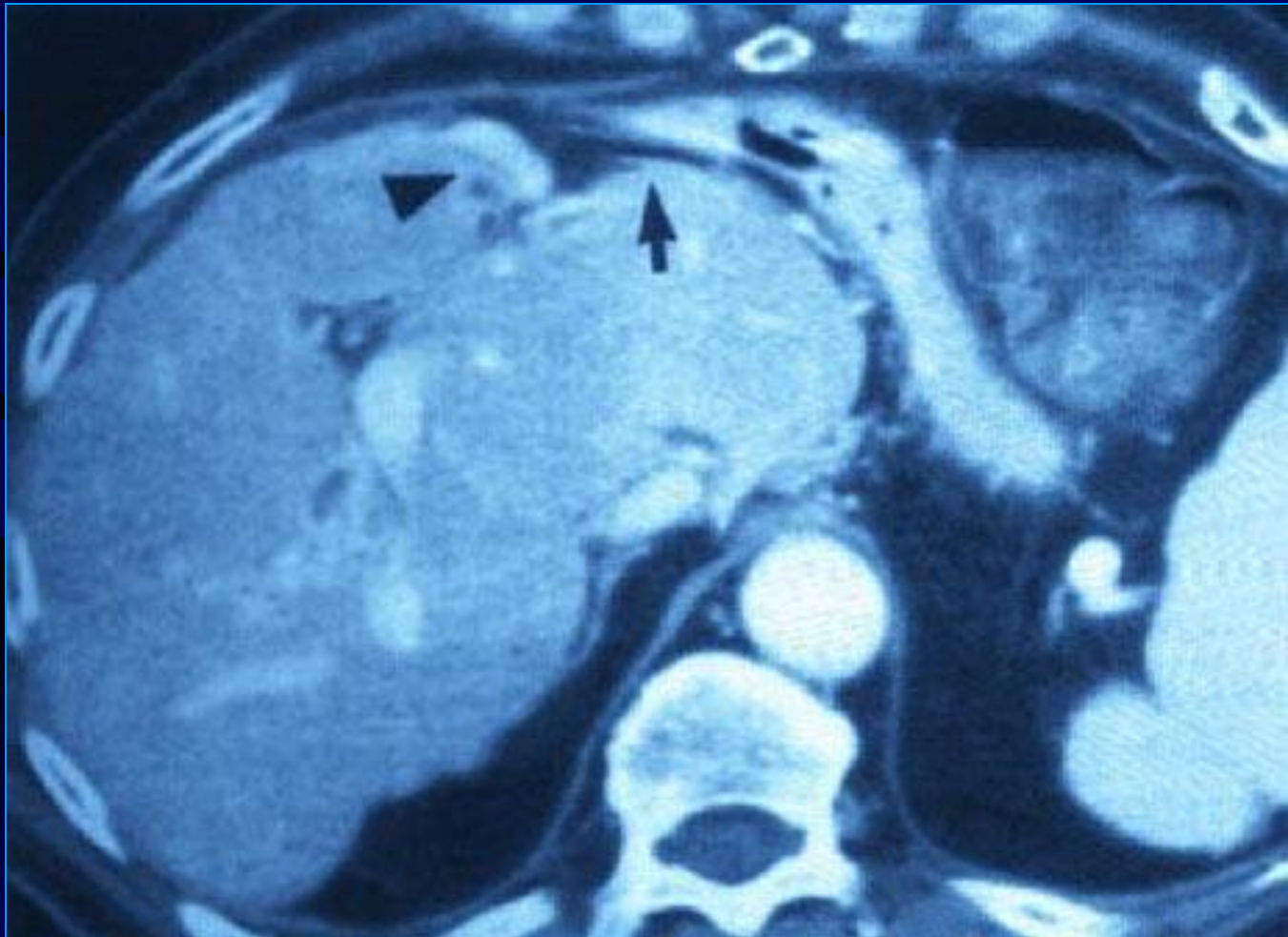
Нерезко выраженная атрофия 4 и 5 сегментов.
Билиарный цирроз.



Полная резорпция 4 и 5 сегментов.
Функционирующая параумбиликальная вена.
Цирроз, индуцированный гепатитом В.

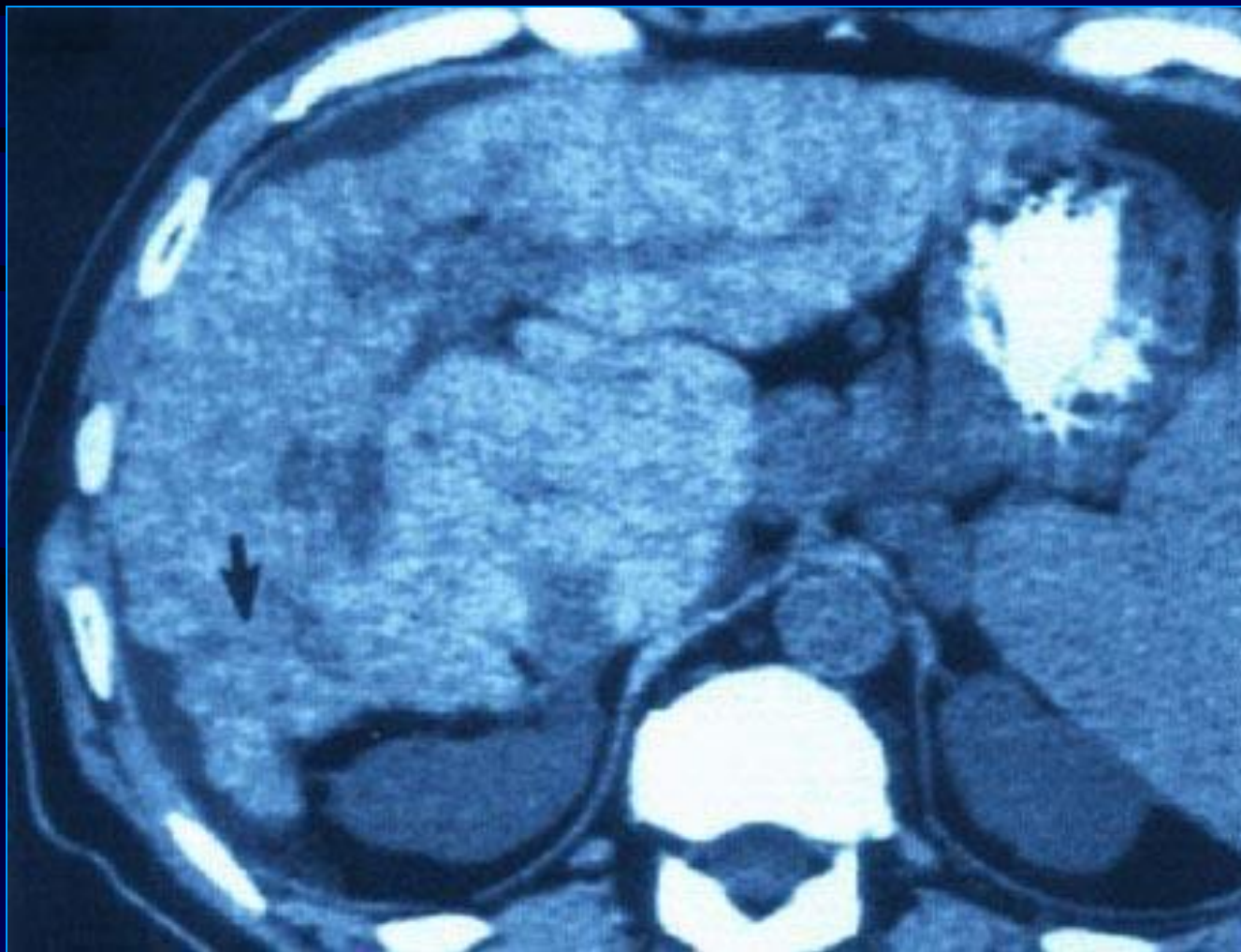


Атрофия 2-3 сегментов., гипертрофия 1 сегмента.
Функционирующая параумбиликальная вена.
Цирроз, индуцированный склерозирующим
ХОЛАНГИТОМ.



Атрофия 6 сегмента, гипертрофия 1 сегмента, узлы регенерации высокой плотности.

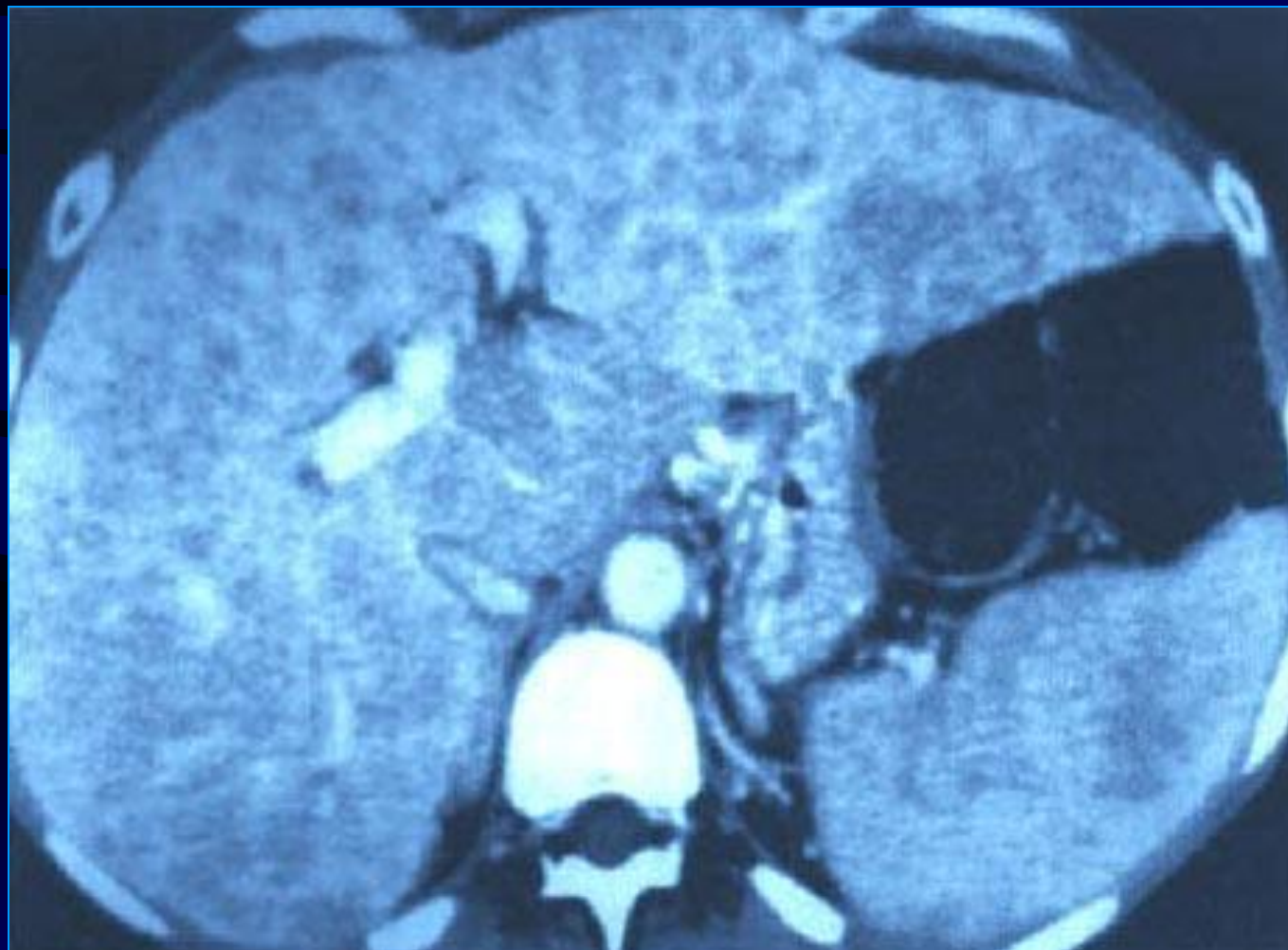
Цирроз, индуцированный склерозирующим холангитом.



Гипертрофия 1 сегмента, атрофия правой доли.
Псевдоопухоль.
Цирроз, индуцированный склерозирующим
ХОЛАНГИТОМ.

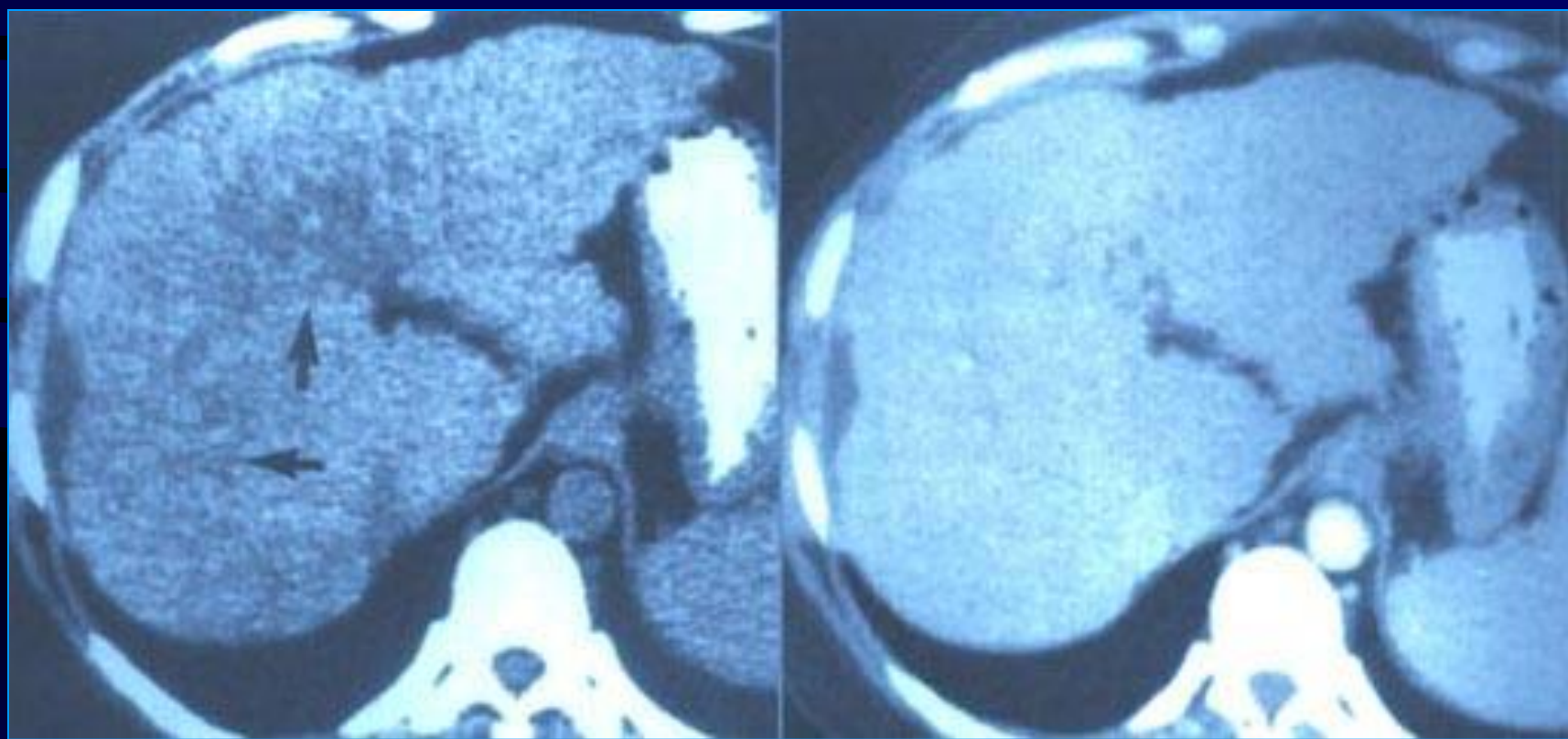


Диффузная гипертрофия печени.
Симптом «бычий глаз».
Билиарный цирроз.



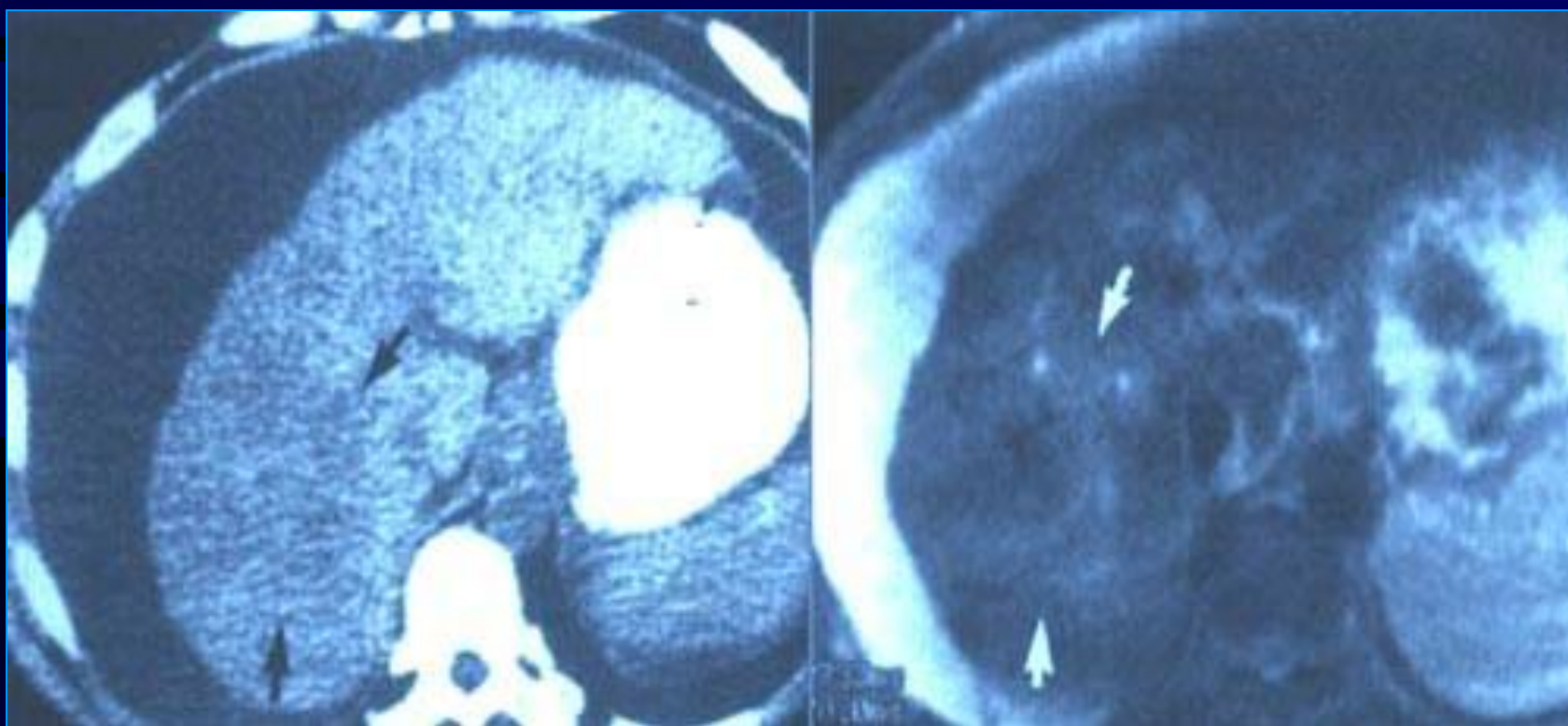
Пятнистый фиброз.
Выравнивание показателей плотности в портальную фазу
контрастирования.

Аутоиммунный цирроз.

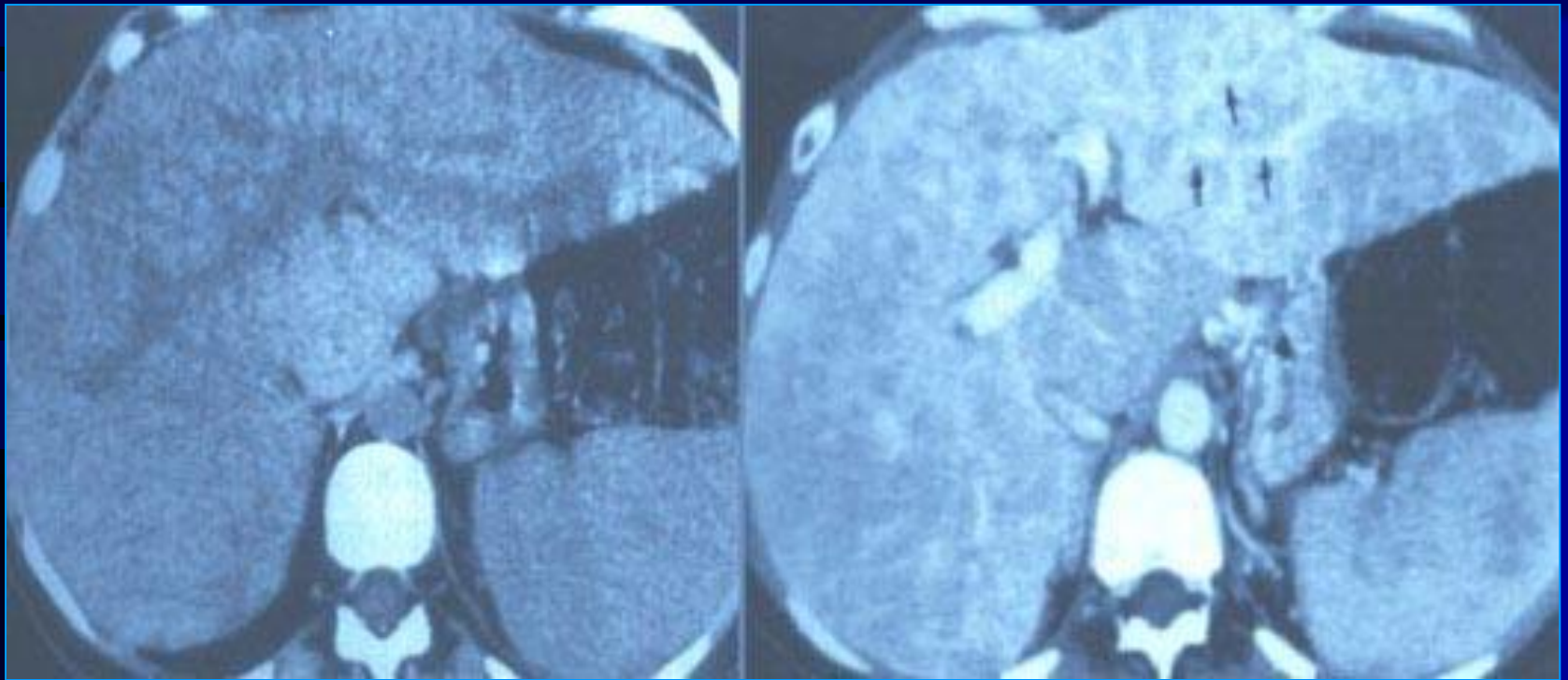


Пятнистый фиброз.
T2-взвешенные спин-эхо МР-изображения. Высокая
интенсивность сигнала.

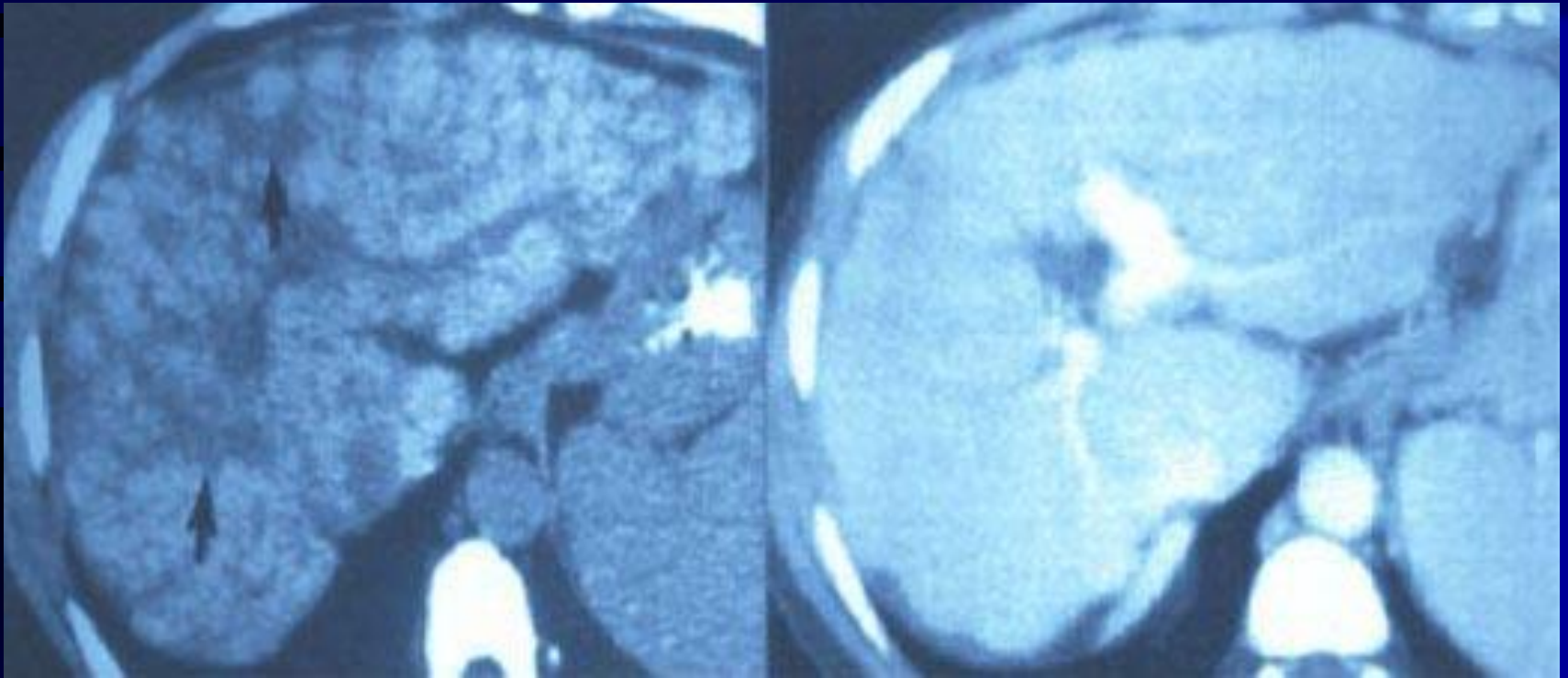
Цирроз, индуцированный гепатитом С.



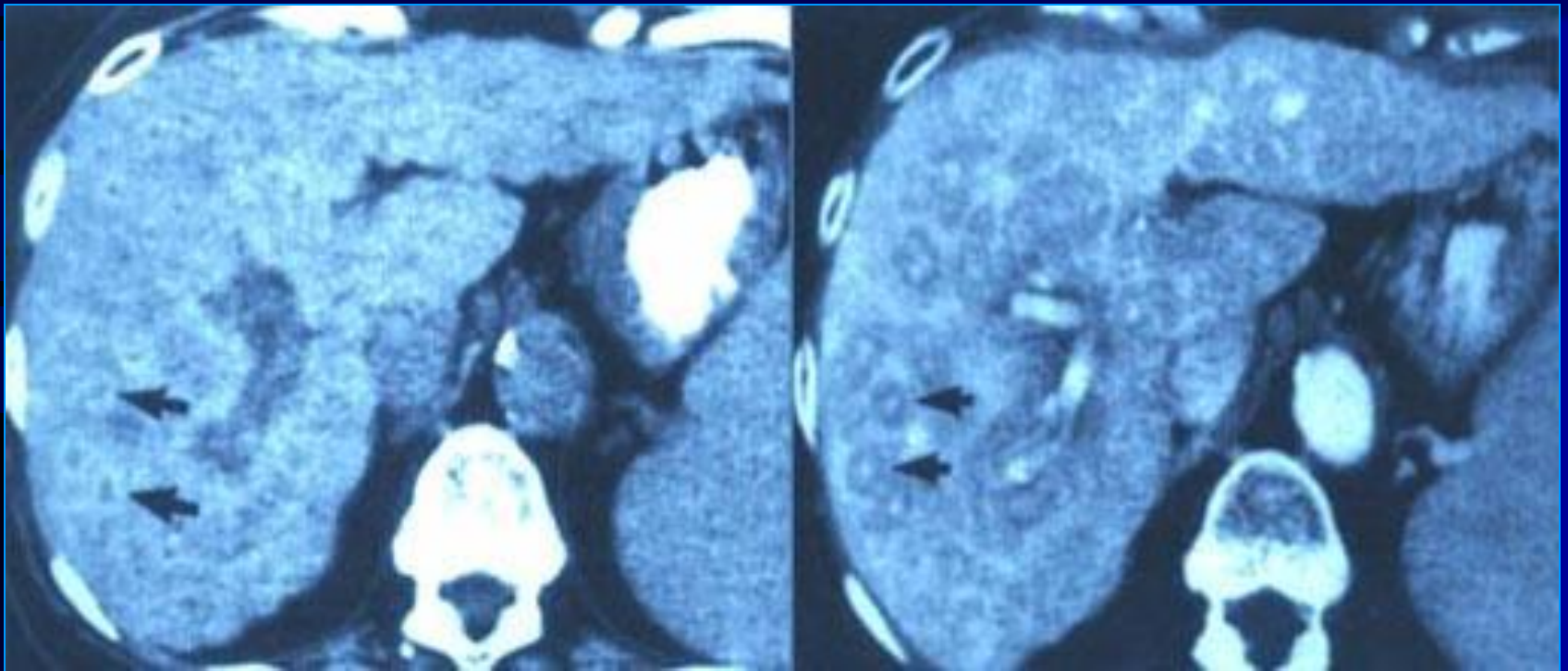
Кружевная сеть (нативная и после контрастирования).
Первичный билиарный цирроз.



Полосатый (ленточный) фиброз.
Выравнивание показателей плотности в портальную фазу
контрастирования.
Цирроз, индуцированный гепатитом В.

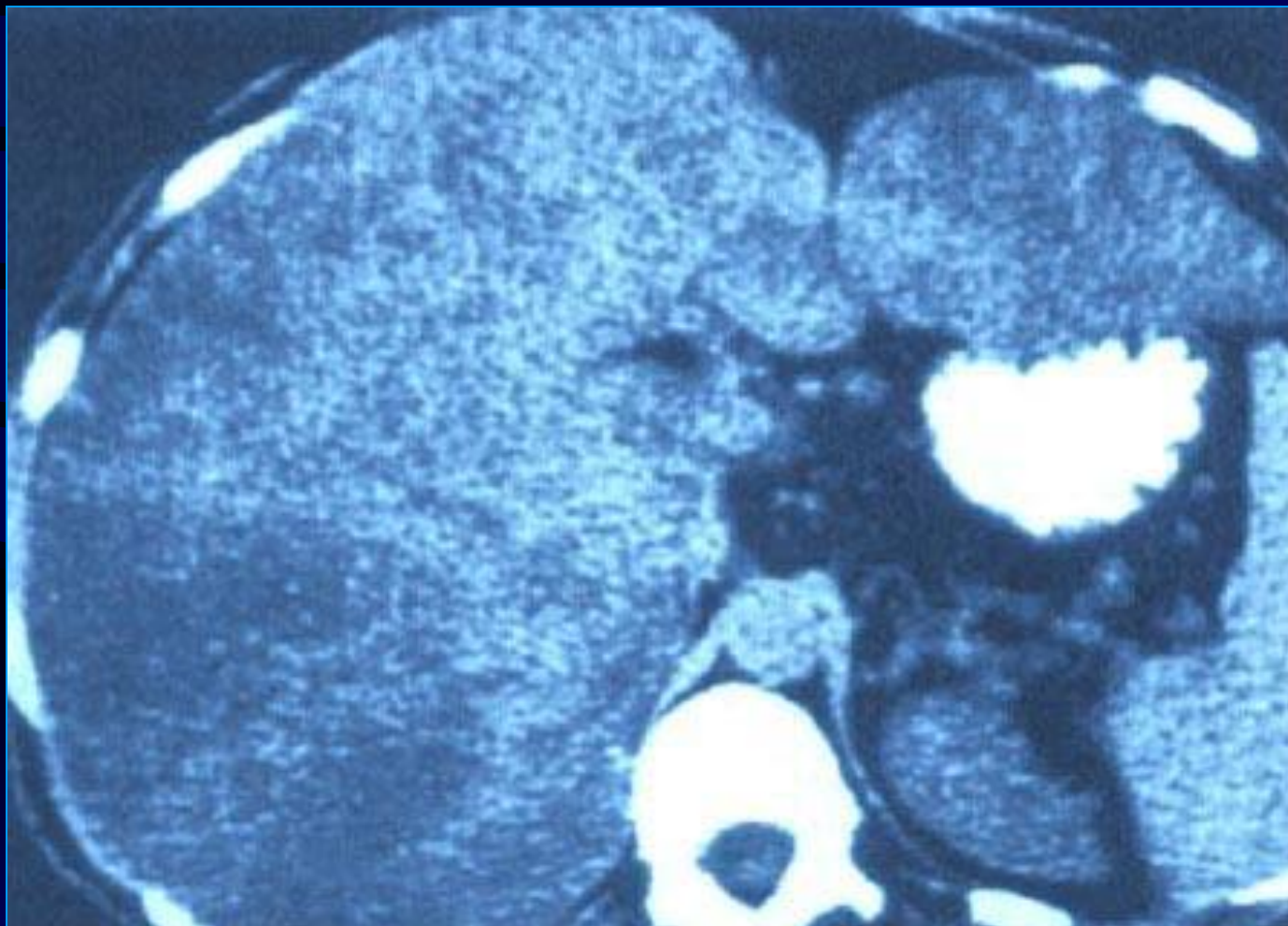


Симптом «бычий глаз»
(до и после контрастирования).
Билиарный цирроз.



Обширные зоны низкой плотности, обусловленные
стеатозом.

Алкогольный цирроз.



Обширные зоны высокой плотности, обусловленные
гемохроматозом (отложение гемосидерина в
гепатоцитах).



Киста 4 сегмента.

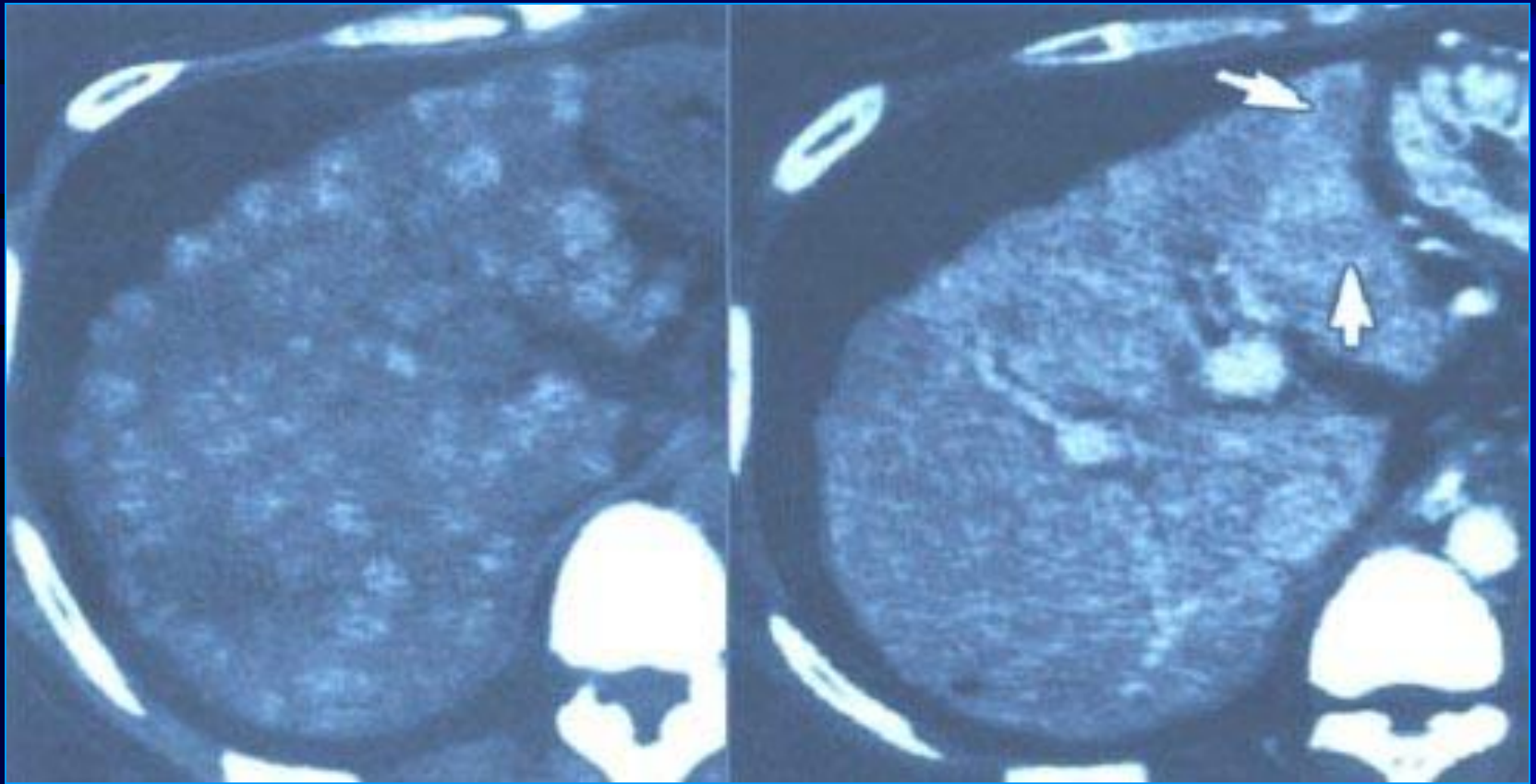
Множественные мелкие гиперденсивные узлы регенерации.
Симптом «соль и перец».

Цирроз, индуцированный гепатитом В.



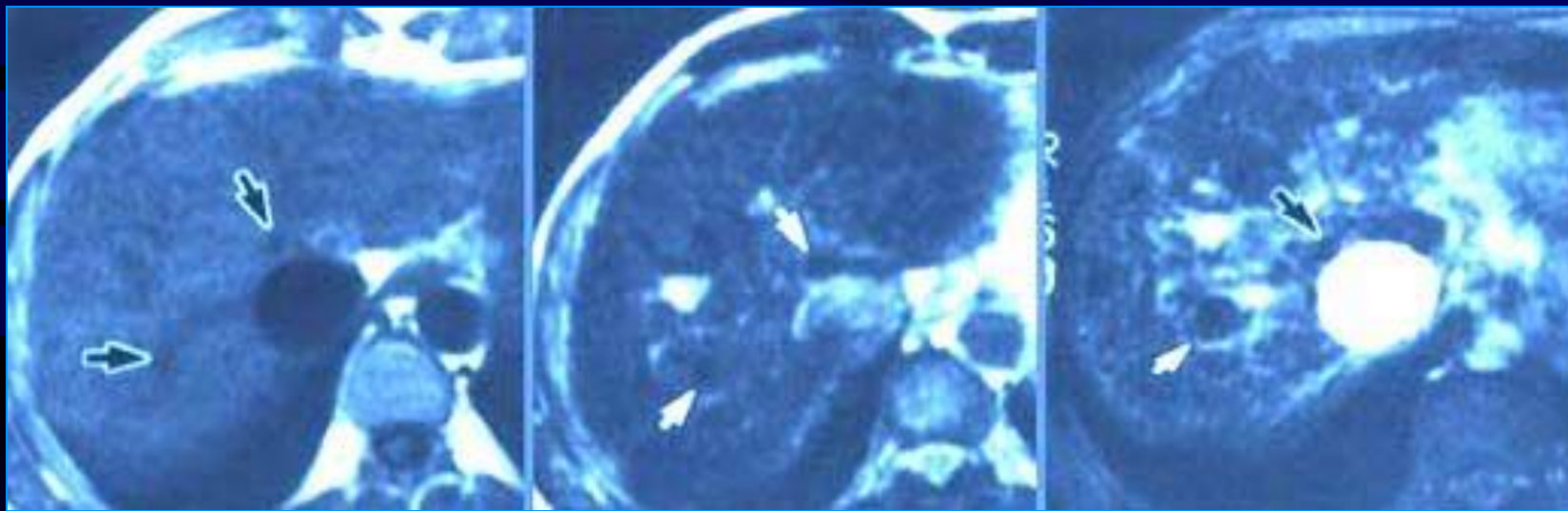
Узлы регенерации, гиподенсивные после
контрастирования.

Криптогенный цирроз.



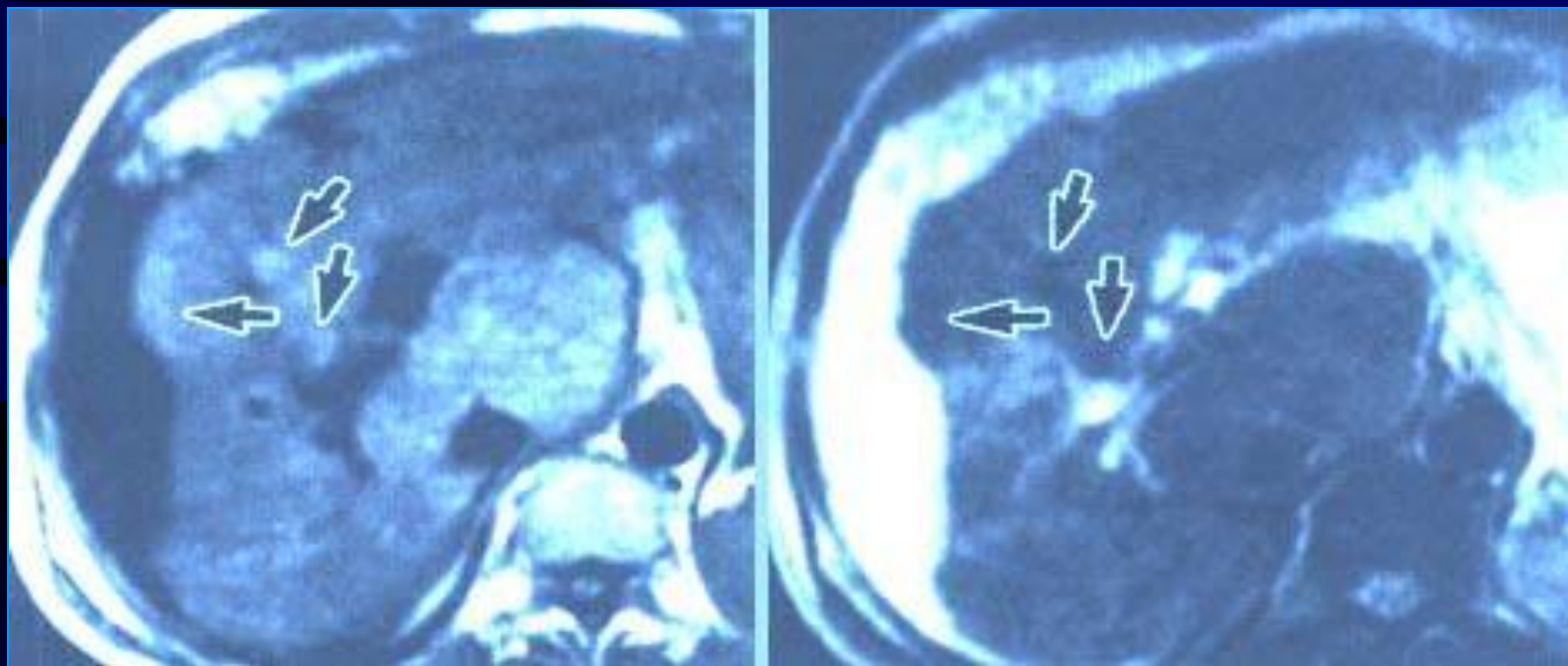
Артефактное увеличение узлов регенерации на градиент-эхо МР-изображениях (парамагнитный эффект, обусловленный содержанием железа в узлах).

Цирроз, индуцированный гепатитом В.



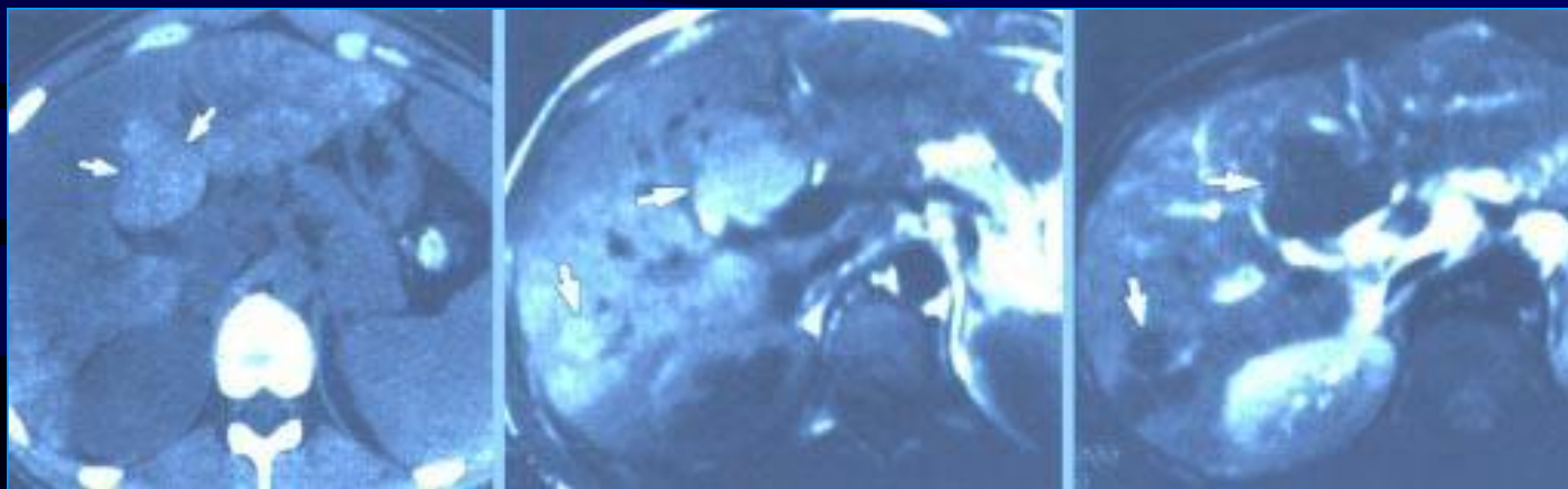
T1-взвешенные изображения: узлы регенерации
изоинтенсивные с нормальной, но гиперинтенсивные с
фиброзной тканью.

T2-взвешенные изображения: узлы гипоинтенсивные на
фоне зон фиброза.



Диспластические узлы регенерации.
Гиперинтенсивные T1-взвешенные изображения и
гипоинтенсивные T2-взвешенные изображения узлов.

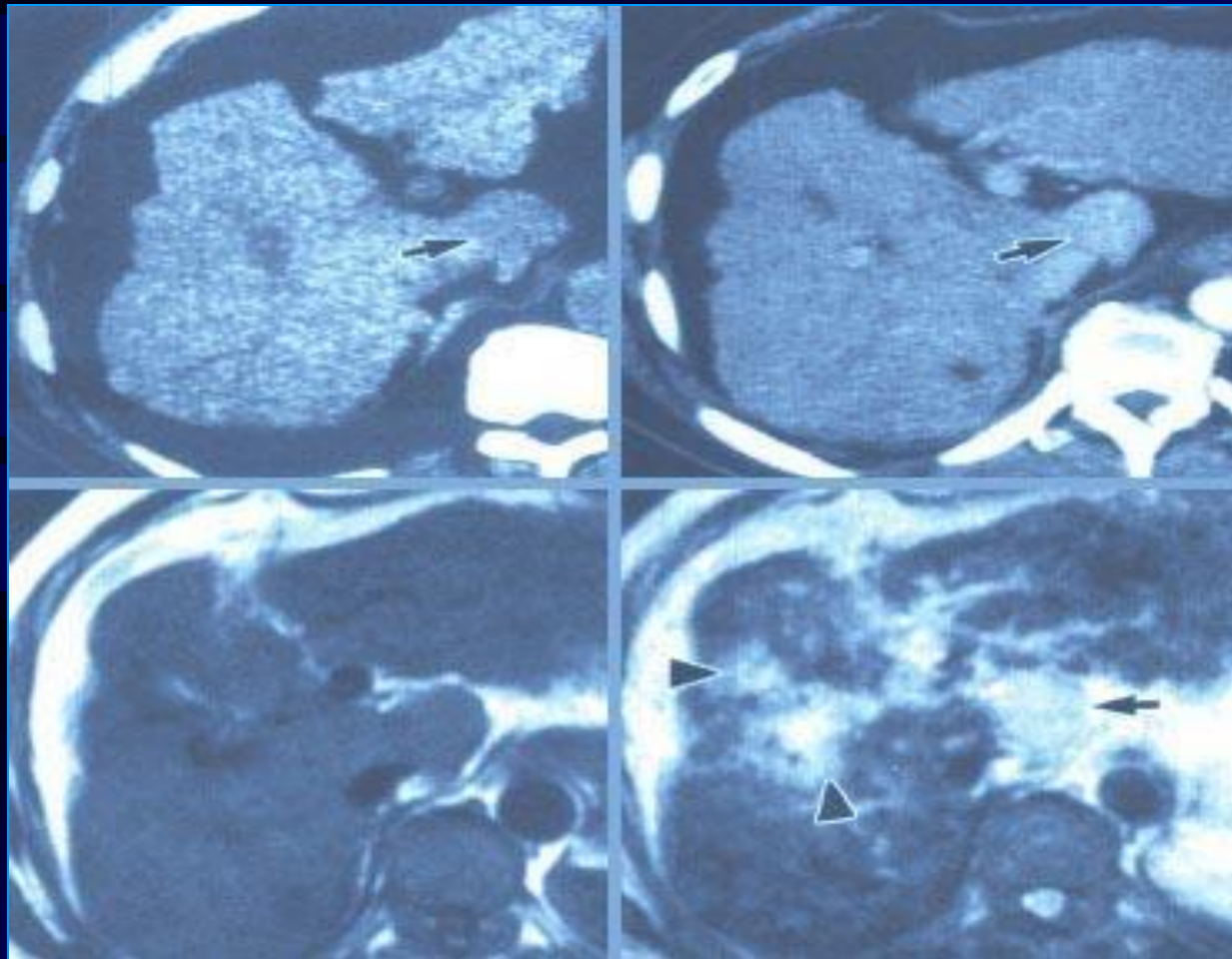
Криптогенный цирроз.



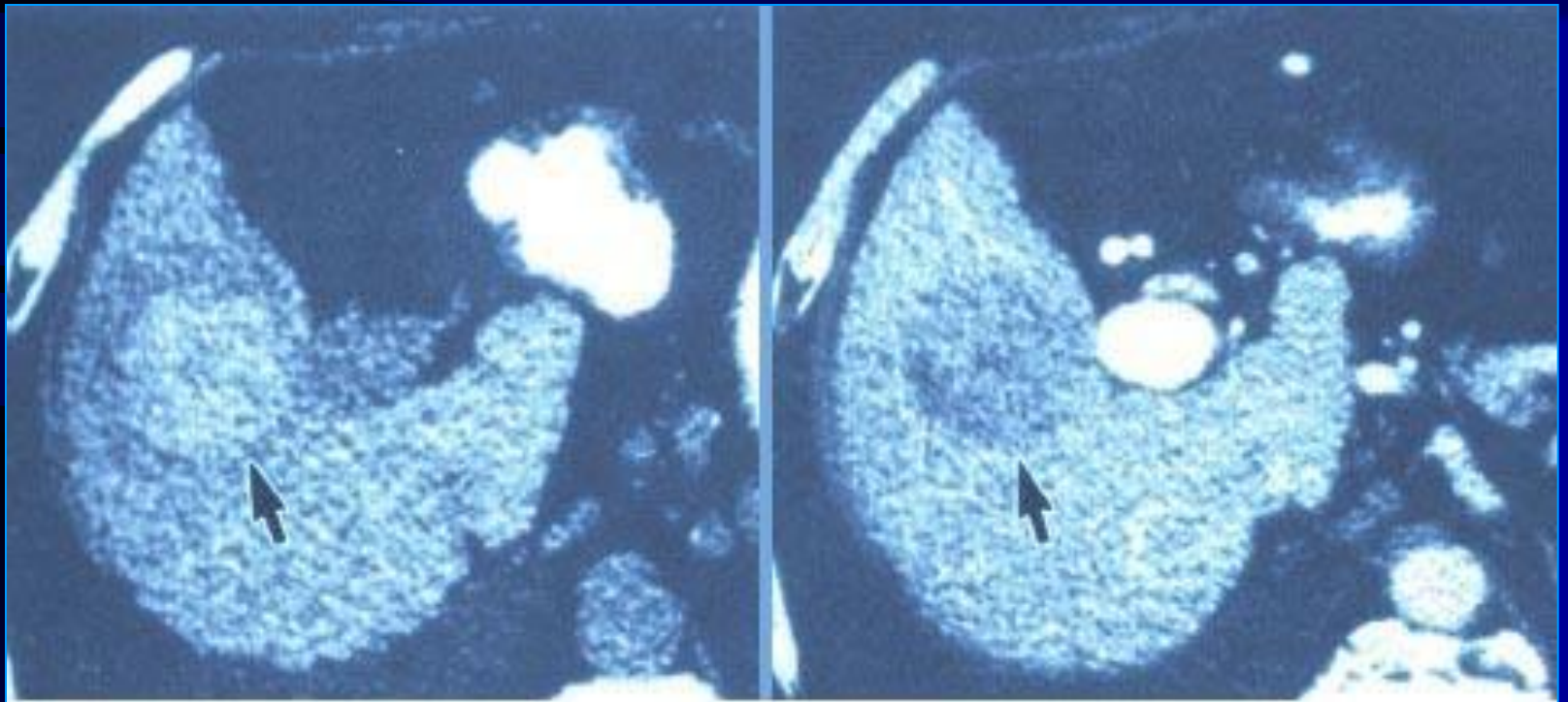
Гепатоцеллюлярная карцинома.

КТ: гиперденсивное образование в артериальную фазу контрастирования.

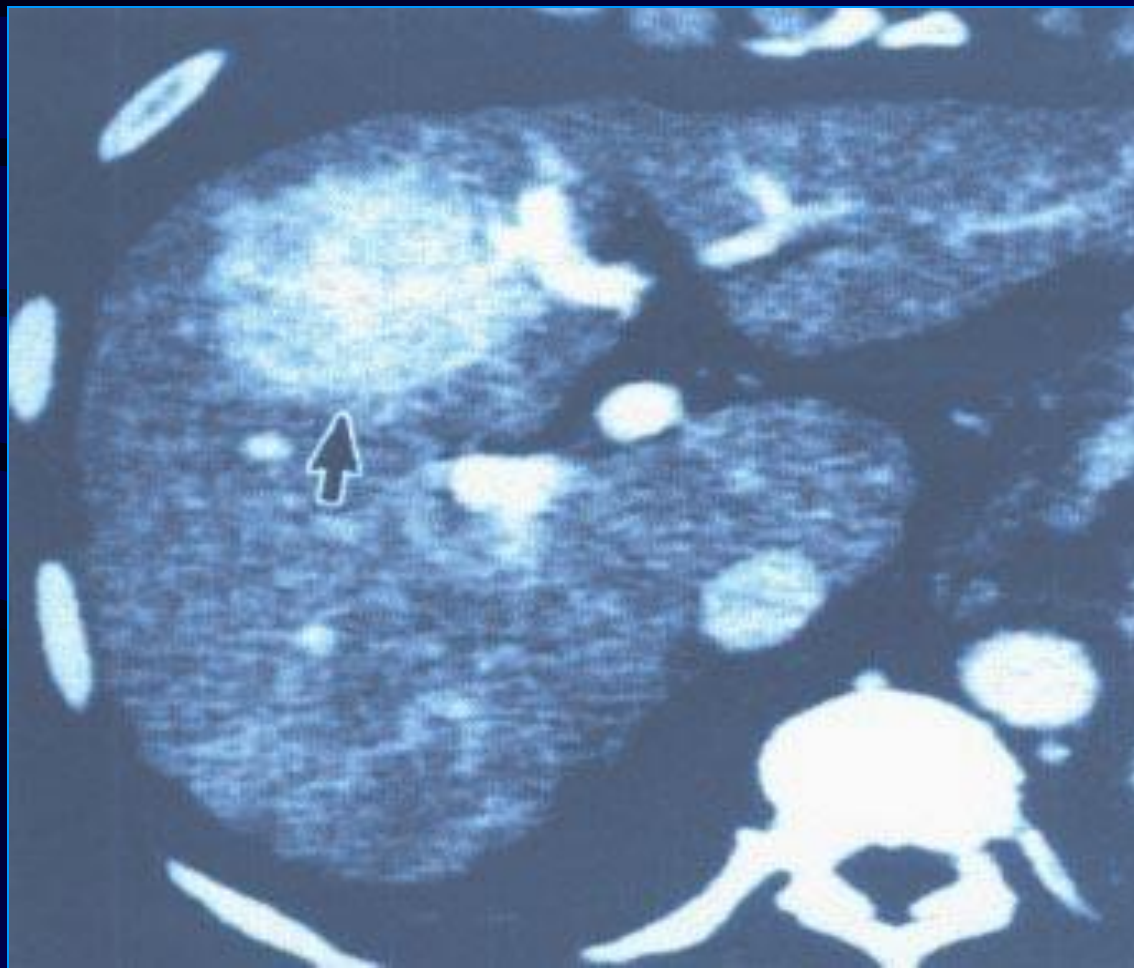
МР: T2-взвешенное изображение гиперинтенсивное и сравнимо с пятнистым фиброзом.



Гепатоцеллюлярная карцинома.
Гиподенсивный ободок на нативном изображении.
Гиподенсивное изображение в портальную фазу
контрастирования. Капсула.



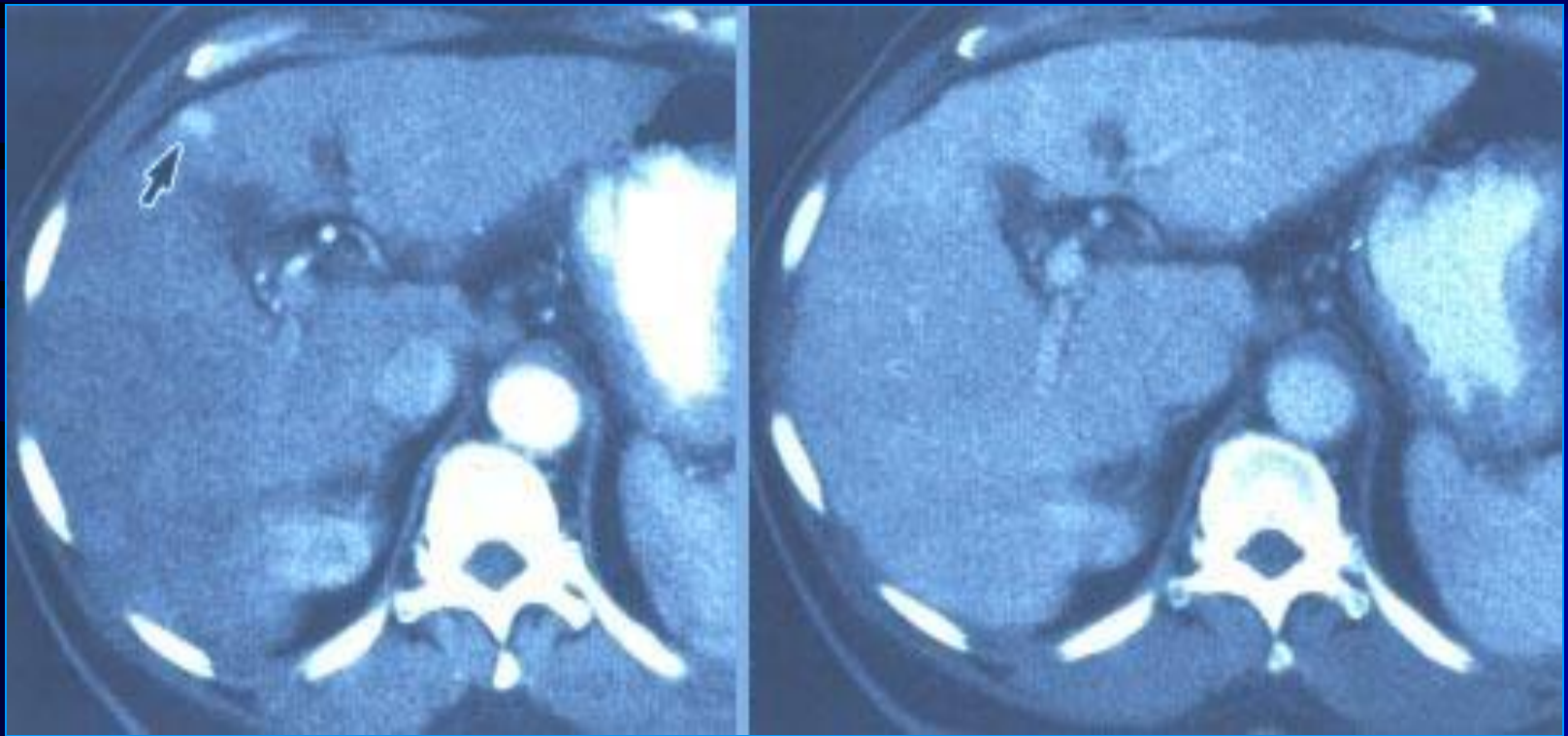
Гепатоцеллюлярная карцинома.
Интенсивное контрастирование в портальную фазу.
Цирроз, индуцированный гепатитом В.



Гепатоцеллюлярная карцинома.

Интенсивное контрастирование в артериальную фазу.
Опухоль не визуализируется в портальную фазу.

Алкогольный цирроз.



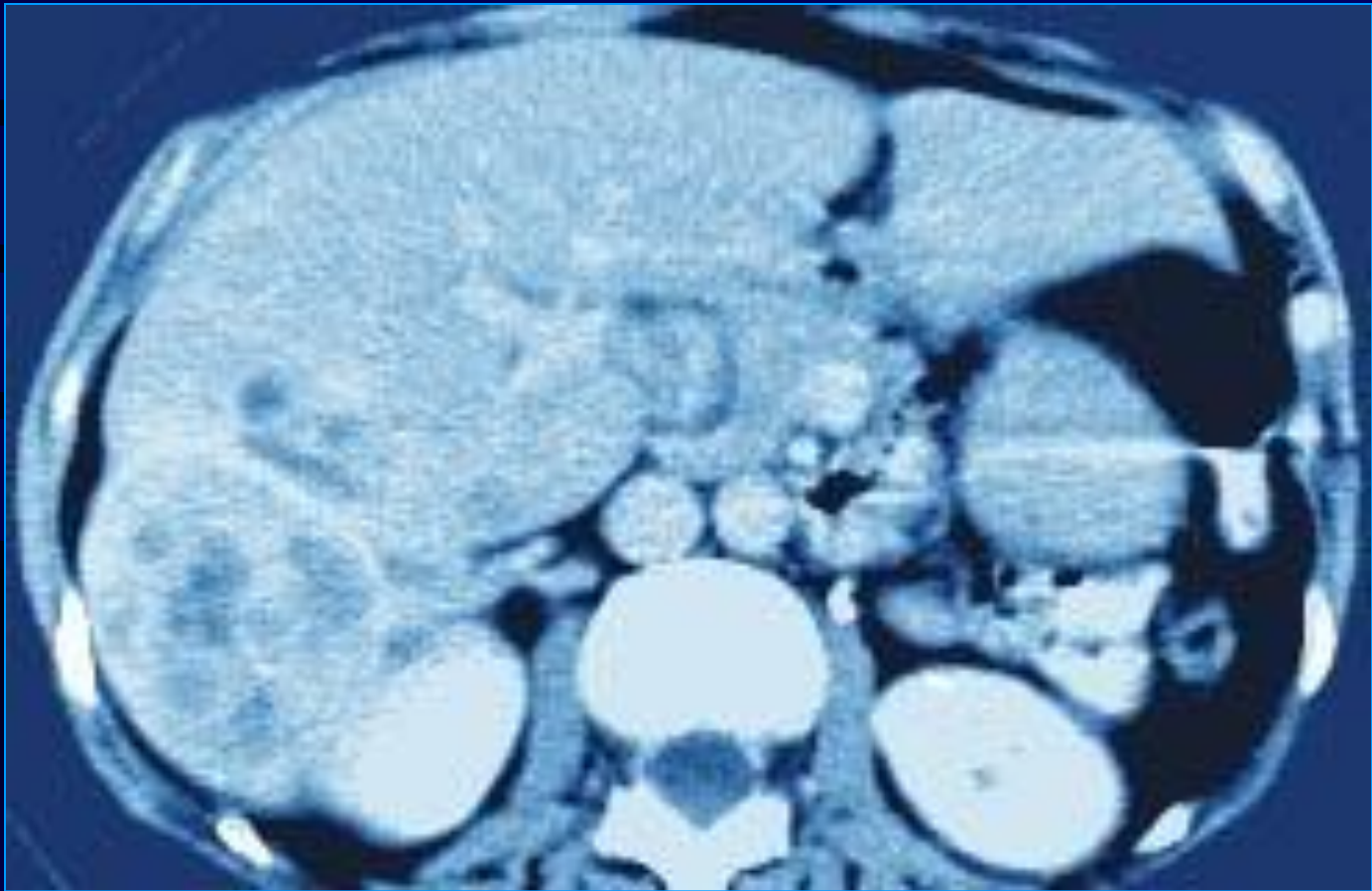
Гепатоцеллюлярные карциномы.
Контрастирование капсулы.
Алкогольный цирроз.



Гепатоцеллюлярная карцинома.
Макроскопически видимый жир.
Криптогенный цирроз.

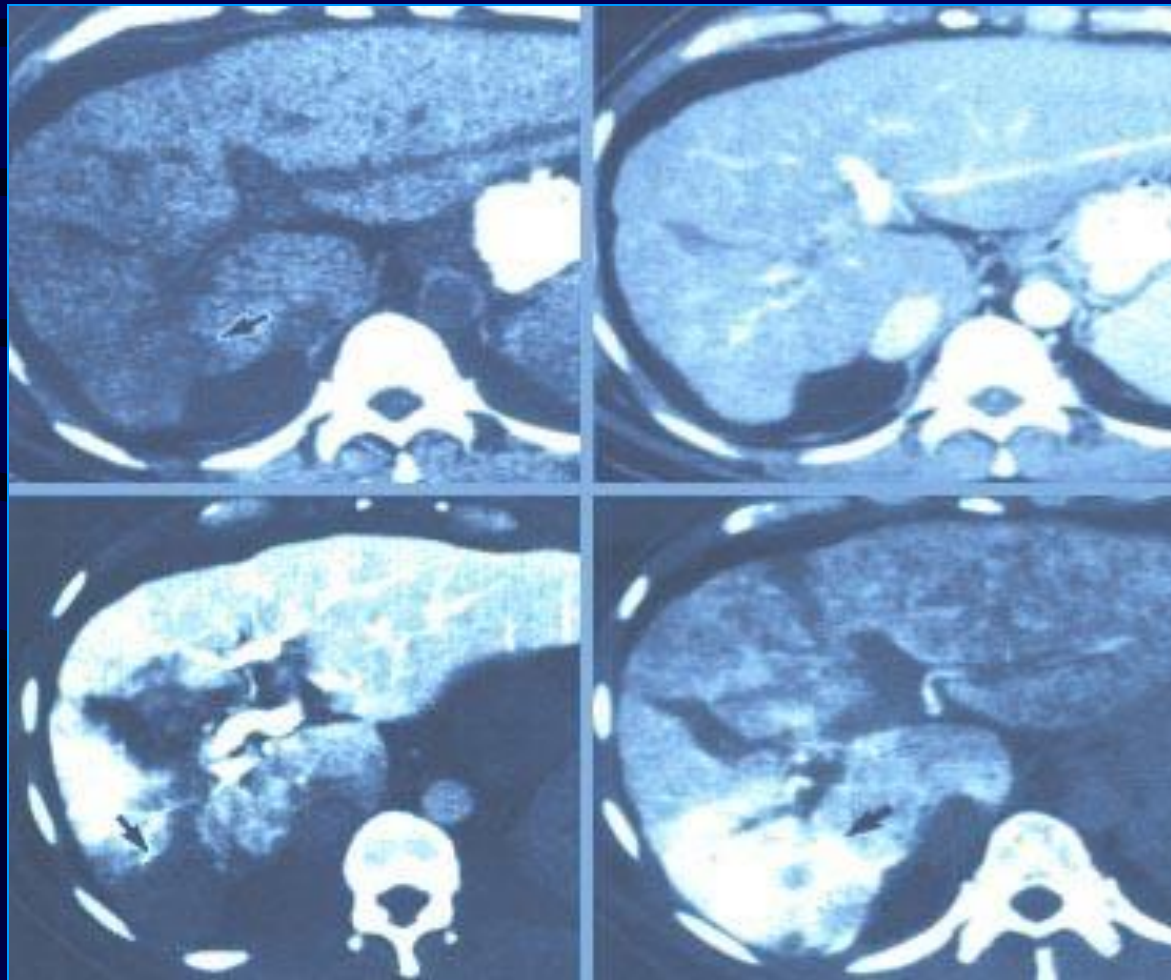


Гепатоцеллюлярная карцинома.
Тромбоз венозных коллекторов.



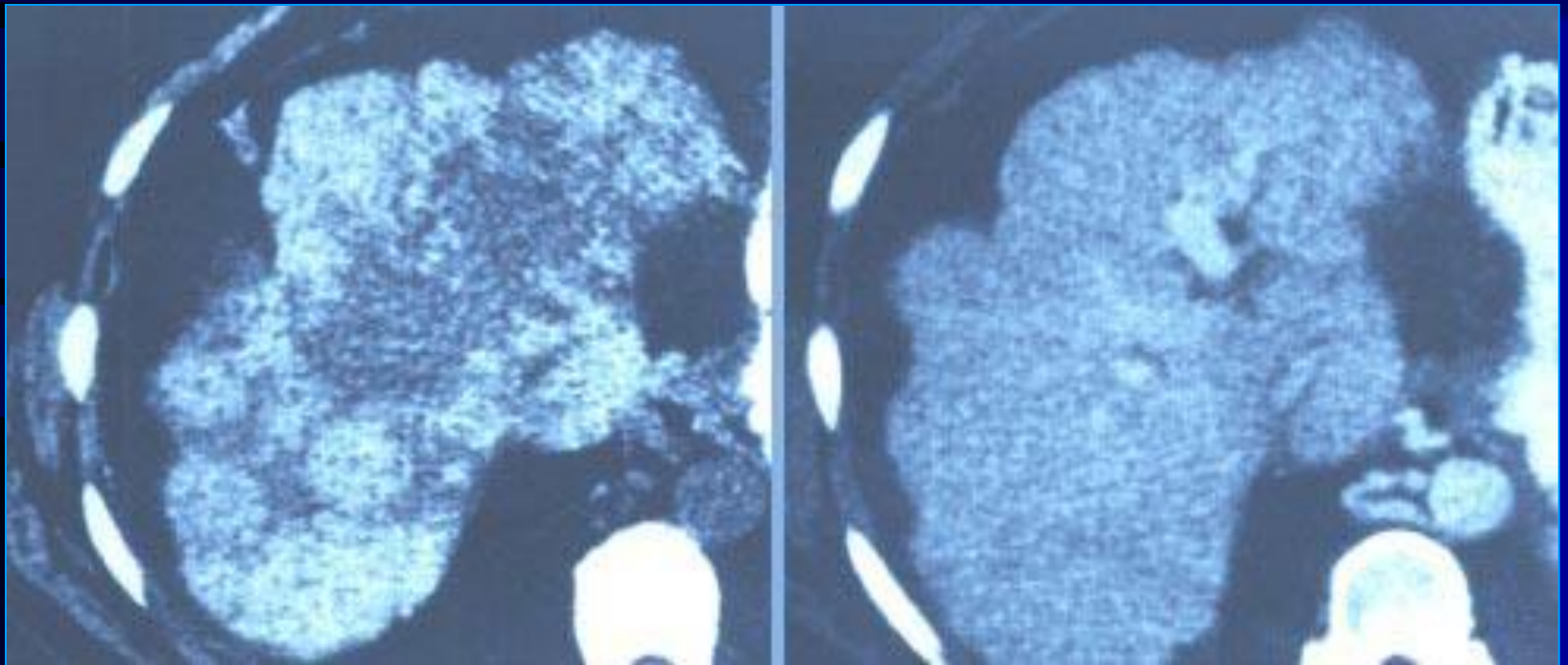
Фокальный сливной фиброз.

Ретракция капсулы, изо-/гиподенсивная зона в портальную фазу, преимущественное кровоснабжение из печеночной артерии.



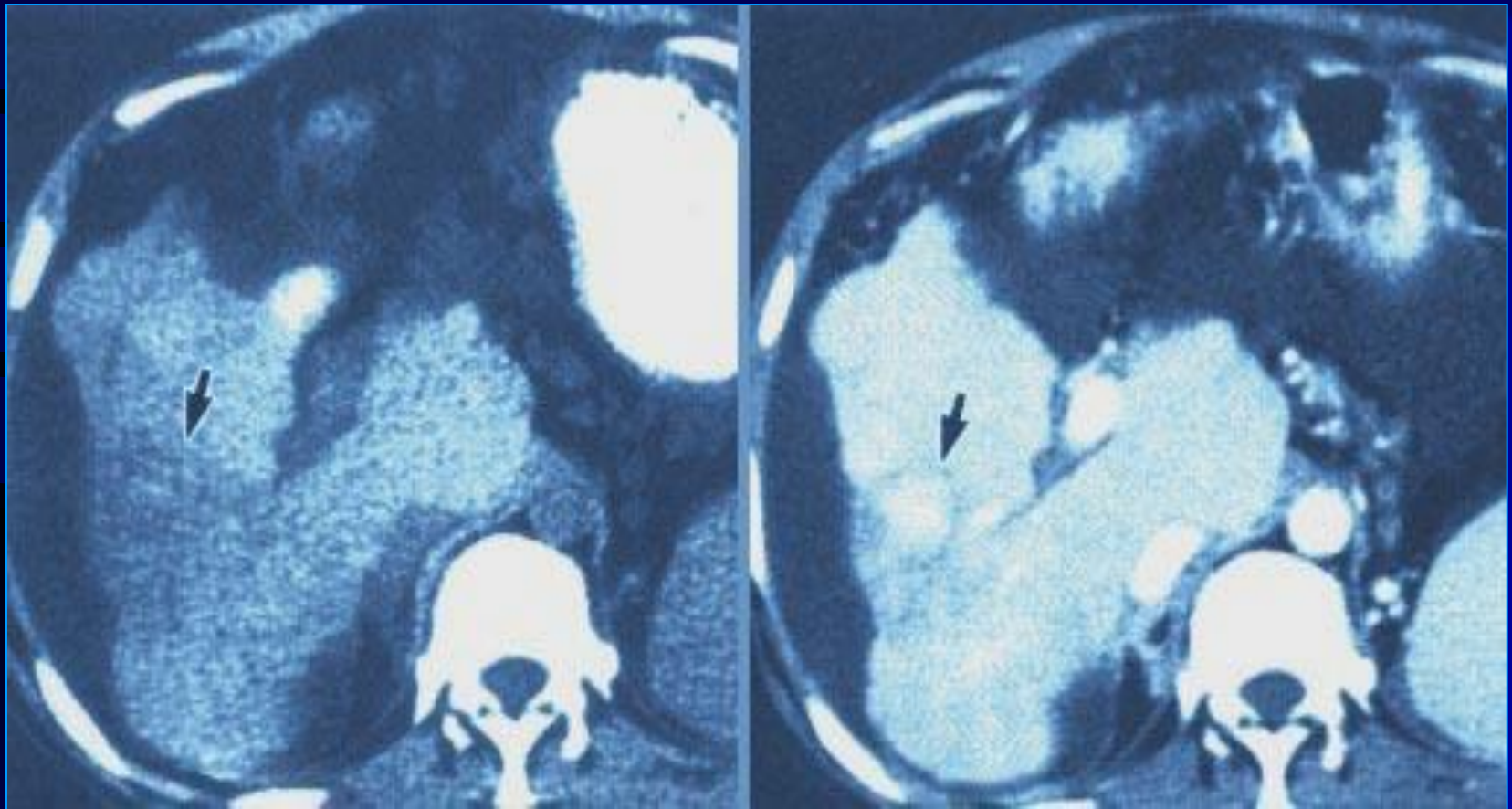
Сливной фиброз.

Атрофия печени, гиподенсивная зона на нативном изображении, выравнивание плотности в портальную фазу.



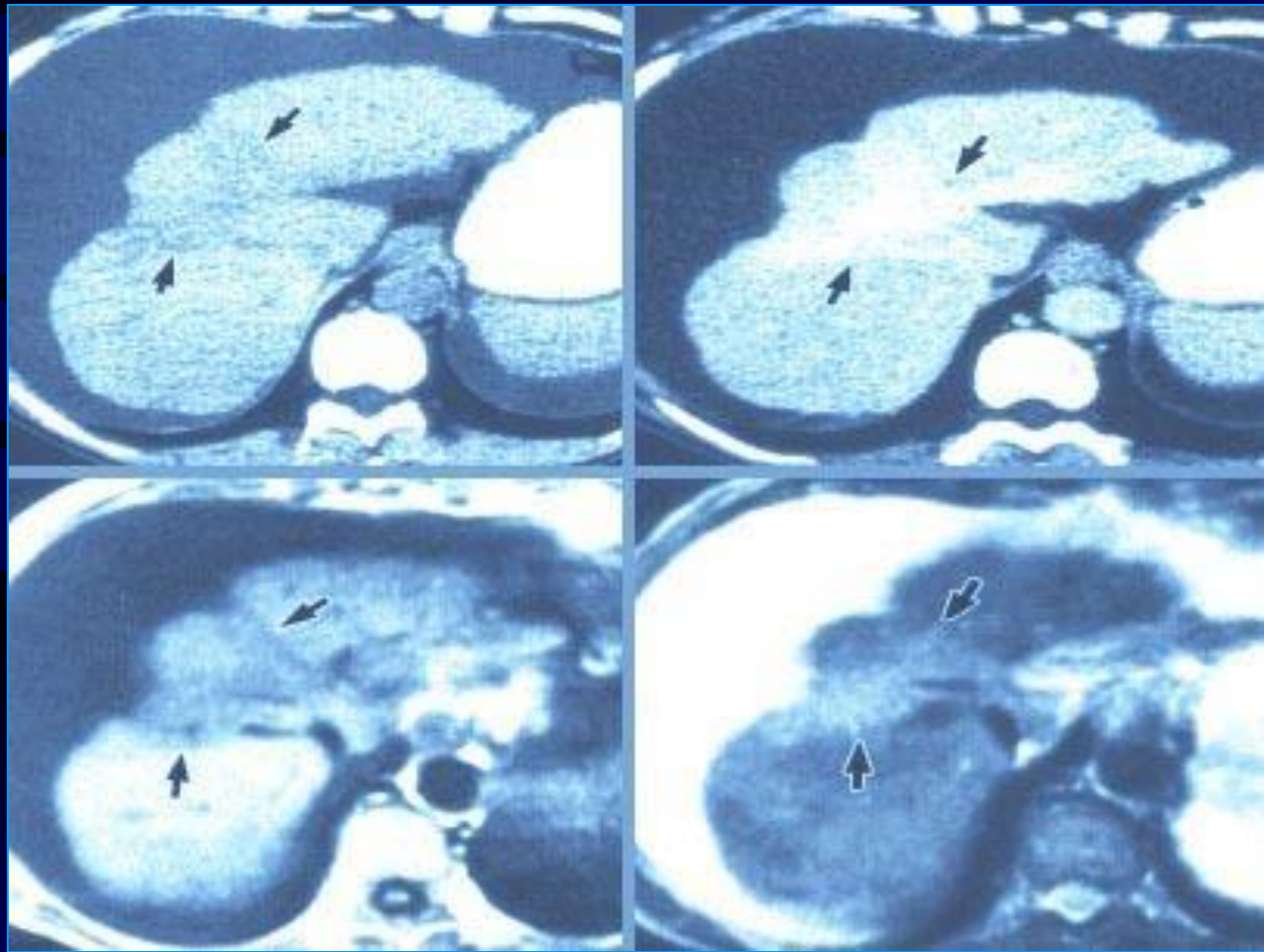
Фокальный сливной фиброз, симулирующий новообразование печени.

Необходима морфологическая верификация.



Фокальный сливной фиброз.

Отсроченное контрастирование при КТ,
Гипоинтенсивный сигнал при T1 спин-эхо МР.
Гиперинтенсивный сигнал при T2 спин-эхо МР.

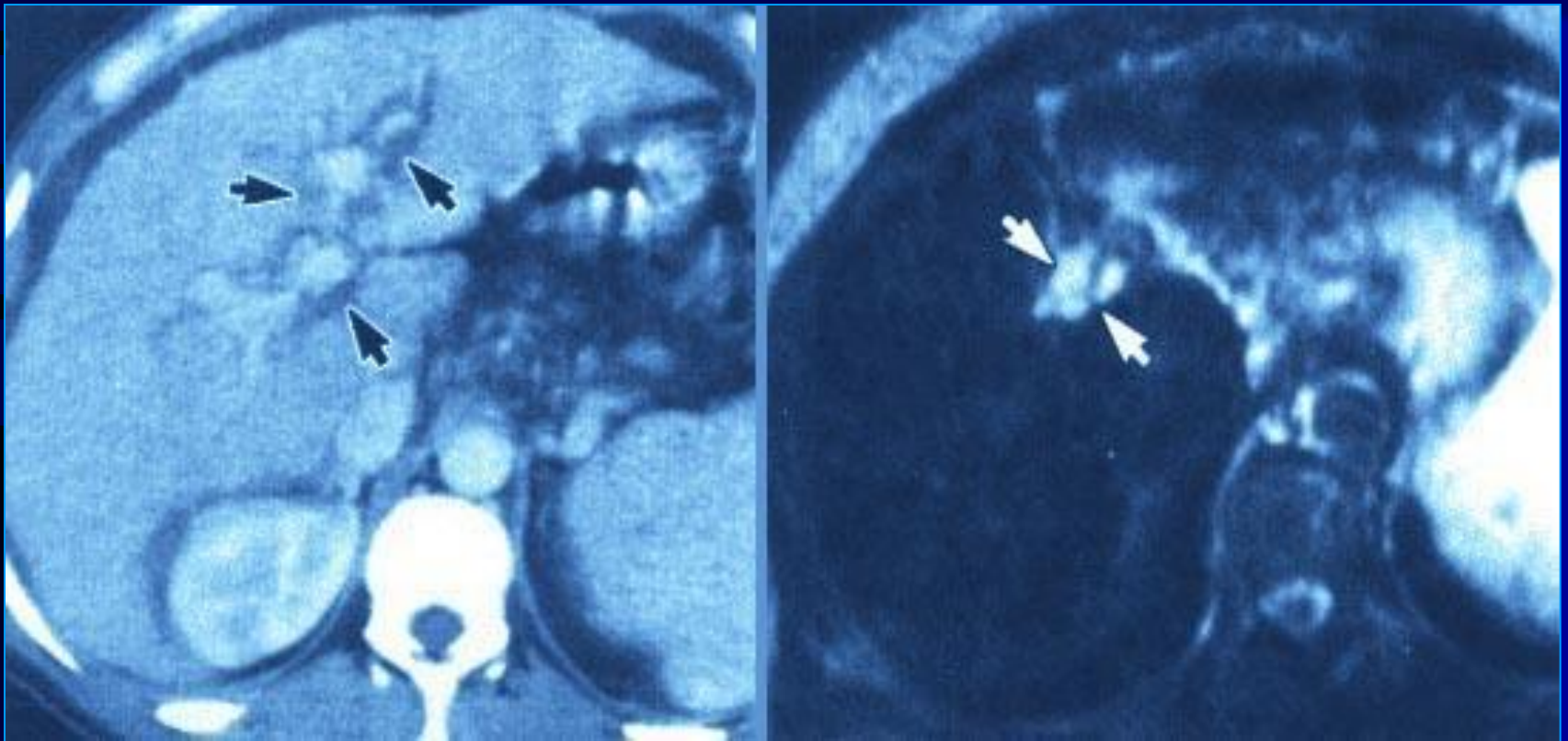


Гемангиома при циррозе печени.
Контрастирование отсутствует.



Перибилиарные (перипротоковые, перипортальные) кисты.

Обструкция перибилиарных желез в стенках желчных протоков. Типичное изображение кист при КТ и МР.



3-D реконструкция

